УДК 621.43

ИСПОЛЬЗОВАНИЕ ИОНИЗАЦИОННОГО ДАТЧИКА, УСТАНОВЛЕННОГО В УДАЛЁННОЙ ОТ СВЕЧИ ЗАЖИГАНИЯ ЗОНЕ КАМЕРЫ СГОРАНИЯ ДВС, ДЛЯ КОНТРОЛЯ СГОРАНИЯ

© 2010

П.В. Ивашин, кандидат технических наук, доцент кафедры «Тепловые двигатели» **П.В. Коломиец**, кандидат технических наук, доцент кафедры «Тепловые двигатели» Тольяттинский государственный университет, Тольятти (Россия)

Ключевые слова: двигатель; камера сгорания; ионизация; зонд; ток; контроль сгорания.

Аннотация: проанализирована возможность получения адекватной информации о сгорании датчиком ионизации, установленном в наиболее удаленной от свечи зажигания зоне камеры сгорания.

ВВЕДЕНИЕ

Исследования, связанные с разработкой адаптивных систем управления двигателя внутреннего сгорания (ДВС), в свете повышающихся требований к топливной экономичности и токсичности отработавших газов (ОГ) ДВС, безусловно, актуальны. Значительный интерес разработчиков вызывает использование в системах управления двигателем электропроводности пламени углеводородов, как основы работы ионизационных датчиков (ИД).

В ряде работ [1,2], экспериментально установлена аномально высокая ионизация пламени углеводородо-воздушных смесей, значительно превышающая равновесную при температурах, характерных для ДВС. Причем это явление характерно только для углеводородов и отсутствует, например, в пламени Н2 или СО, т.е. ионизация пламени тесно связана с химией процесса горения углеводородного топлива. Определено, что основными носителями заряда, отвечающими за протекание тока в пламени, являются свободные электроны [2]. Несмотря на это, ток, возникающий в пламени в электрическом поле, традиционно называют «ионным».

Как показывает анализ современных публикаций, для регистрации ионного тока в цилиндре ДВС в основном используется свеча зажигания (СЗ) как ИД. Для этого после искрового разряда на электроды СЗ подается напряжение и анализируется протекание ионного тока. В результате многочисленных экспериментов выявлены закономерности, связывающие величину ионного тока с такими параметрами процесса сгорания как соотношение топливо-воздух [3], фаза максимума давления на индикаторной диаграмме [4]. Использование свечи зажигания как ИД позволяет проводить в основном диагностику аномального сгорания (пропуски зажигания, детонационное сгорание [5]) и исследовать горение в узкой области возле СЗ. При этом информация о химических превращениях во фронте пламени может быть оценена только в начальный период сгорания, когда пламя охватывает электроды СЗ, после этого сигнал может содержать информацию только о состоянии продуктов сгорания, окружающих электроды СЗ. Таким образом, не может быть проанализирован процесс распространения пламени по камере сгорания (КС).

Аппаратная реализация систем регистрации ионного тока, внедренных в систему зажигания отличается достаточной сложностью. В отличие от таких систем, схемы регистрации ионного тока в удаленных от СЗ зонах, значительно проще. Мониторинг ионного тока в этих зонах, позволит получать больший объем информации о процессе сгорания. Прежде всего, это связано с возможностью оценки времени распространения пламени по объёму КС. Это может быть

использовано как при анализе процесса сгорания в реальном времени, так и для исследовательских целей, относящихся к моделированию горения в цилиндре поршневого ДВС.

Однако установка ИД в КС поршневого ДВС - достаточно сложная конструкторская задача, особенно для многоклапанных головок цилиндров. Поэтому, необходимо достаточно серьезное обоснование целесообразности установки ИД в КС. Обоснованием может служить высокая информативность сигналов ИД, установленного в удаленной от СЗ зоне КС. Критерием информативности является получение информации о важнейших параметрах, определяющих сгорание в режиме реального времени или с задержкой, значительно меньшей продолжительности переходных режимов ДВС. В связи с этим проведены экспериментальные исследования. Целью экспериментов являлся анализ информативности сигналов ИД, установленного в наиболее удаленной от СЗ зоне КС. Информативность сигналов оценивалась с помощью зависимостей ионного тока от основных факторов, определяющих процесс сгорания в ДВС, а также выявлением взаимосвязи ионного тока с некоторыми параметрами, позволяющими оценивать эффективность и токсичность рабочего процесса.

МЕТОДИКА ПРОВЕДЕНИЯ ИССЛЕДОВАНИЙ

Эксперименты проводились на одноцилиндровой четырёхтактной исследовательской установке УИТ-85 с изменяемой степенью сжатия. Обороты поддерживались постоянными: 600 и 900 мин⁻¹. Угол опережения зажигания составлял 13 градусов поворота коленчатого вала (° пкв). Устройство установки позволяет точно контролировать температуру охлаждающей жидкости, степень сжатия, обороты коленчатого вала, угол опережения зажигания и варьировать ими независимо друг от друга. Для мониторинга ионного тока был изготовлен ИД.

ИД представляет собой электрод, изолированный от корпуса двигателя керамической соломкой. Фронт пламени, омывая электрод и корпус замыкает электрическую цепь, в которой возникает импульс ионного тока, обусловленный электропроводностью углеводородного пламени. Продолжительность сигнала определяется временем замыкания цепи, т.е. временем существования пламени в зоне ИД.

На рис. 1 показано место установки ИД. ИД находится на максимальном удалении от СЗ. Сигналы ИД регистрировались с помощью системы сбора данных L-card.

Для определения выделений токсичных компонентов в ОГ использовался микропроцессорный газоанализатор «Автотест- 02» (0 класс точности).

Варьируемыми факторами были:

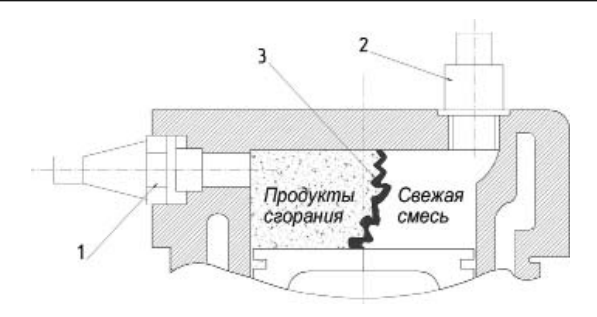


Рис. 1. Расположение ИД в КС УИТ-85: 1 – свеча зажигания; 2 – ИД; 3 –фронт пламени

- коэффициент избытка воздуха (α) от 0.8 до пределов бедного срыва пламени,
- добавка газообразного водорода в топливно-воздушную смесь (ТВС) до 5 % массы от расхода бензина;
- степень сжатия (є) от 5 до 8 (т.е. начальные температура и давление заряда),
- частота вращения коленчатого вала (n) 600 и 900 об/мин (турбулентность заряда)

Таким образом, варьировались факторы, определяющие условия сгорания. Т.е. значимые для сгорания «входные» факторы, которые конструктивно или командно могут изменяться в процессе эксплуатации двигателя.

Методика проведения эксперимента заключалась в одновременной регистрации осциллограмм ионного тока, измерении расходов топлива, воздуха и водорода, а также токсичности ОГ.

Осциллограммы ионного тока синхронизировались по моменту искрового разряда. Типовой вид осциллограммы показан на рис. 2. Параметрами оценки протекания ионного тока в данной работе были амплитуда сигнала I (мкА) и время t ion от искрового разряда до возникновения сигнала (мс).

Оцениваемые параметры сигнала ИД характеризуются межцикловым рассеиванием значений. Данное явление не является погрешностью метода, а обусловлено флуктуациями пламени в поршневом ДВС. Поэтому для анализа использованы осреднённые по 20-40 циклам сгорания параметры ионного тока.

Предварительно были оценены случайные ошибки определения параметров ионного тока, обусловленные стохастичностью процесса:

- по времени от искрового разряда до возникновения сигнала ионного тока до 4° пкв это составило $1\text{-}2^\circ$ пкв.
- по амплитуде сигнала до 6 %. Увеличение точности оценки параметров ионного тока возможно при увеличении числа последовательно зарегистрированных сигналов на одном режиме. Для первичного анализа имеющийся точности достаточно.

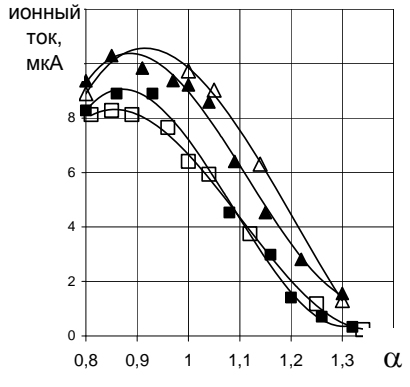


Рис. 3. Зависимость ионного тока от состава ТВС: \square $n = 600 \text{ min}^{-1}, \, \epsilon = 5; \, \triangle \, n = 600 \text{ min}^{-1}, \, \epsilon = 8;$

■ $n = 900 \text{ min}^{-1}$, $\varepsilon = 5$; ▲ $n = 900 \text{ min}^{-1}$, $\varepsilon = 8$

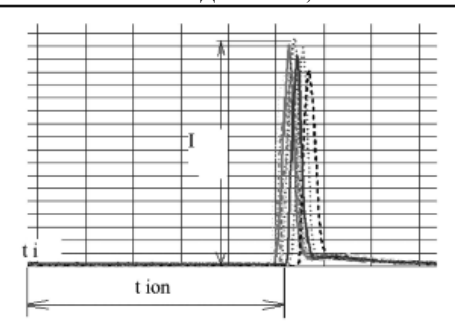


Рис. 2. Типовой вид осциллограммы: t,- момент воспламенения

Погрешность определения количества доли добавляемого в ТВС водорода составила 5 %, коэффициента избытка воздуха - 3 %.

РЕЗУЛЬТАТЫ ИССЛЕДОВАНИЙ

Для выявления зависимостей ионного тока от варьируемых факторов вместо времени \mathbf{t}_{lon} в мс в качестве параметра был использован соответствующий угол пкв Φ_{p} который условились называть фазой возникновения сигнала ионного тока в цикле. Это позволило сравнивать разные скоростные режимы. Таким образом, сигнал ионного тока может быть проанализирован по фазе и амплитуде.

Амплитуда сигнала отзывается на изменение варьируемых факторов (рис.3). Характерно отсутствие сигнала при пропусках зажигания. При выключенном зажигании или отсутствующей подаче топлива импульсы проводимости отсутствовали.

Зависимости амплитуды и фазы сигнала ионного тока от состава ТВС представлены на рис.3 и рис.4.

Имеется максимум амплитуды ионного тока в области обогащенных ТВС (α = 0,85-0,95) и практически линейная зависимость в зоне бедных смесей. Аналогично, фаза сигнала имеет минимум в зоне α = 0,85-0,95.

При увеличении є (т.е. при повышении давления и температуры в конце сжатия) амплитуда ионного тока возрастает, а фаза сигнала несколько снижается.

Зависимости амплитуды и фазы сигнала ионного тока от добавки водорода в ТВС разных составов представлено на рис. 5 и 6. Показано, что добавка водорода в бедные ТВС оказывает значительное влияние на ионный ток. Так для α = 1,3 амплитуда сигнала при добавке около 4 % водорода повысилась с 1,5 до 4,9 мкA, а фаза сигнала при этом снизилась с 40 до 24 ° пкв.

ОБСУЖДЕНИЕ РЕЗУЛЬТАТОВ

Анализ экспериментальных зависимостей амплитуды и

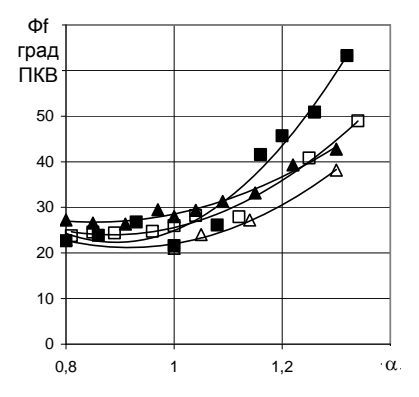


Рис. 4. Зависимость Φ_f от состава ТВС: \square $n = 600 \text{ min}^{-1}, \, \epsilon = 5; \, \triangle \, n = 600 \, \text{min}^{-1}, \, \epsilon = 8;$

■ $n = 900 \text{ min}^{-1}$, $\epsilon = 5$; ▲ $n = 900 \text{ min}^{-1}$, $\epsilon = 8$

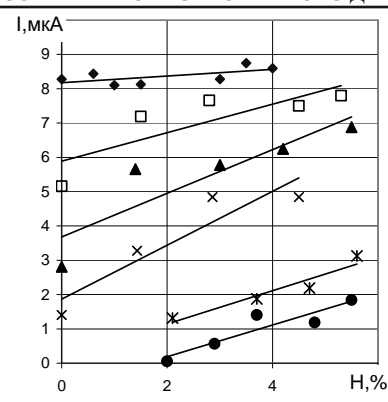


Рис. 5. Зависимость ионного тока от состава ТВС: • $\alpha=0.79\text{-}0.82,\ \square\ \alpha=1.07\text{-}1.11,\ \triangle\ \alpha=1.16\text{-}1.22,\ \times\ \alpha=1.28\text{-}1.32,$ • $\alpha=1.4\text{-}1.42,\ \bullet\ \alpha=1.46\text{-}1.52$

фазы сигнала ионного тока от варьируемых факторов, представленных на рис. 3-6 позволяет сделать вывод о том, что изменение варьируемых факторов может быть оценено как с помощью амплитуды, так и с помощью фазы сигнала. Причём эти параметры изменяются во взаимосвязи между собой: в случае возрастания амплитуды уменьшается фаза и, наоборот, при снижении амплитуды фаза возрастает.

Наличие экстремумов амплитуды и фазы сигнала ИД от состава ТВС в области $\alpha=0.85$ -0.95, а также линейная зависимость амплитуды в зоне $\alpha=1.0$ -1.3 могут быть использованы при управлении двигателем с обратной связью.

Зависимость параметров оценки сигнала от добавки водорода позволяет сказать о возможности анализа состава топливной композиции по сигналу ИД. При этом слабое влияние водорода на сигнал в области обогащённых смесей связано с действием водорода как промотора горения, а не отсутствием чувствительности ИД.

Для первичного анализа взаимосвязи ионного тока с динамикой сгорания была использована фаза максимума давления в цилиндре — Фрг (угол пкв от искрового разряда до достижения максимума давления в цикле), концентрация несгоревших углеводородов (СН) в ОГ, концентрация оксидов азота (NOx) в ОГ.

Фаза максимума давления в цилиндре в условиях данной установки была определена в работе [6] с помощью магнитострикционного датчика давления, позволяющего точно определить данный параметр. В условиях данного эксперимента Фрг позволяет косвенно оценивать скорость нарастания давления, т.е. массовую скорость сгорания заряда.

На рис.7 показано сравнение фазы возникновения сигнала ионного тока Φf и фазы максимального давления в цилиндре Φpr . Видно, что при изменении α Φf и Φpr изменяются практически эквидистантно, что позволяет построить линейную зависимость фазы максимума давления от фазы сигнала ионного тока.

Таким образом, выявлена возможность косвенной оценки скорости нарастания давления в КС и определения расположения максимума давления на индикаторной диаграмме с помощью ИД. Подобный подход применяется в известных исследованиях при использовании СЗ как ИД. Например, в исследованиях [7,8] максимум ионного тока в цепи СЗ практически совпадает по фазе с максимумом давления в цикле, как в исследовательских установках, так и на полноразмерных ДВС. Однако в этих исследованиях форма сигнала в измерительном контуре является достаточно сложной и содержит 3 фазы — фазу зажигания, фазу наличия фронта пламени в зоне электродов, и постпламенную фазу [4], каждая из которых имеет свой максимум, что усложняет анализ сигналов. При использовании уда-

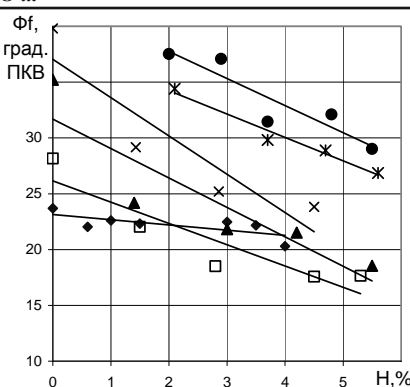


Рис. 6. Зависимость $\Phi_{\rm f}$ от состава ТВС: • $\alpha=0.79\text{-}0.82,\ \square\ \alpha=1.07\text{-}1.11,\ \triangle\ \alpha=1.16\text{-}1.22,\ \times\ \alpha=1.28\text{-}1.32,$ • $\alpha=1.4\text{-}1.42,\ \bullet\ \alpha=1.46\text{-}1.52$

лённого от СЗ ИД возможно более простое обнаружение фазы максимума давления сгорания, чем при использовании СЗ, поскольку от системы контроля не требуется поиск максимума сигнала, а необходима только оценка наличия сигнала, что легко осуществить по контролю превышения сигналом определенного порогового уровня. Кроме того, при использовании СЗ в качестве ИД могу возникать дополнительные погрешности в анализе сигнала, связанные с поздней активацией измерительного контура [9], являющегося частью системы зажигания.

При анализе данных, изображённых на рис. 7, следует отметить качественную сходимость полученных результатов с работой [10], в которой проведена одновременная регистрация сигналов 12-ти ИД, расположенных в различных зонах КС 4-х цилиндрового ДВС, и давления в КС, определяемого с помощью пьезодатчика. В [10] момент достижения пламенем ИД, расположенного диаметрально противоположно СЗ, также как и в нашем эксперименте имеет практически одинаковую разность по фазе с моментом максимума давления в цикле. Данное сравнение подтверждает адекватность полученных в нашей работе результатов.

Таким образом, экспериментально определено наличие взаимосвязи фазы сигнала ионного тока и динамики процесса сгорания.

Не менее значимым для оценки качества процесса сгорания параметром является токсичность ОГ ДВС. В связи с этим выявлена взаимосвязь ионного тока и концентрации токсичных компонентов в ОГ. Оценивались наиболее токсичные компоненты ОГ – несгоревшие углеводороды (СН) и оксиды азота NOx.

На рис. 8 представлена экспериментальная оценка взаимосвязи концентрации NOx в ОГ и амплитуды сигнала ИД [11]. Зависимость концентрации NOx от ионного тока может быть оценена кривой 2-го порядка с максимумом. Т.е. по ионному току может быть осуществлена идентификация режима с наибольшей токсичностью по NOx.

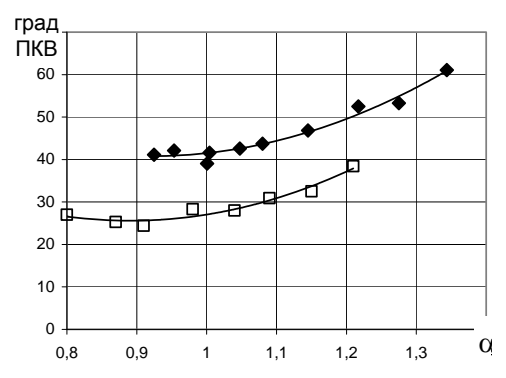


Рис.7. Зависимости $\Phi_{f}(\Box)$ и Φ pr (\blacklozenge) от состава ТВС

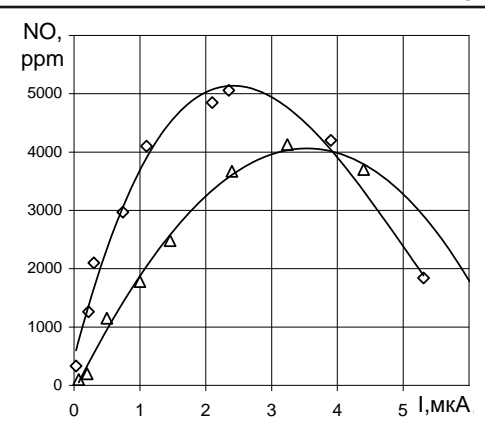


Рис.8. Зависимость концентрации NOx в ОГ от амплитуды ионного тока: $⟨> n = 600 \text{ min}^{-1}$, УОЗ-13 ° пкв; $⟨> n = 900 \text{ min}^{-1}$, УОЗ-13 ° пкв

Для оценки взаимосвязи ионного тока и концентрации СН в ОГ использованы оба параметра оценки, т.е. фаза и амплитуда сигнала.

Произведение фазы Фf и амплитуды ионного тока обозначено как комплексный параметр К. Предполагается, что данный параметр позволяет оценить соотношение влияния на среднюю скорость сгорания факторов химического состава рабочего тела и турбулентности заряда ТВС. Обоснование этого предположения заключается в том, что Фf обратно пропорциональна средней скорости пламени, которая определяется, турбулентным сгоранием, а ионный ток пропорционален нормальной скорости распространения пламени [11]. Анализ экспериментальных данных позволил выявить зависимость концентрации СН в ОГ от комплексного параметра К (рис.9). Имеется определенное значение К, которому соответствует минимальная концентрация СН в ОГ, т.е. оптимальный для полного сгорания баланс турбулентной и ламинарной составляющих скорости горения.

выводы

В результате экспериментов подтверждена высокая информативность сигналов ИД, установленного в наиболее удалённой от СЗ зоне КС. Показано, что рассматриваемые параметры оценки сигнала зависят от основных режимных факторов, определяющих сгорание (α , промотор горения, ϵ).

Выявлена взаимосвязь сигналов ионного тока с динамикой сгорания и токсичностью $O\Gamma$.

Сигнал ИД, установленного в удалённой от СЗ зоне КС может быть оценён как минимум по двум параметрам (амплитуде и фазе), что обусловливает наблюдать его большую информативность, чем сигнал с датчика-свечи.

Таким образом, использование удалённых от СЗ ИД в системах управления представляется более эффективным, чем использование датчика-свечи. Получено первичное обоснование возможности препарирования цилиндра ИД для разработки новых систем управления. При этом требуются дополнительные исследования возможности получения информации о сгорании в цилиндре ДВС при работе в широком диапазоне режимов и в различных типах КС.

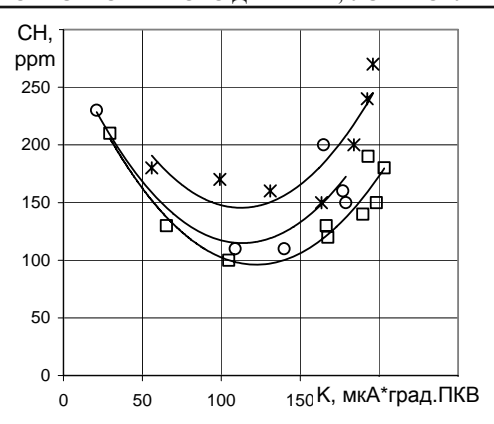


Рис.9. Зависимость концентрации СН в ОГ от комплексного параметра K: $\Box - \varepsilon = 5, \bigcirc - \varepsilon = 6, * - \varepsilon = 7$

Работа выполнена при поддержке федеральной целевой программы «Научные и научно-педагогические кадры инновационной России» на 2009-2013 г. (ГК N1557)

СПИСОК ЛИТЕРАТУРЫ

- 1. Степанов Е.М., Дьячков Б.Г. Ионизация в пламени и электрическое поле. М.: Металлургия, 1968.
- 2. Мальцев В.М., Мальцев М.И., Кашпоров Л.Я. Основные характеристики горения. М.: Химия, 1977.
- 3. E. N. Balles, E. A. VanDyne, A. M. Wahl, K. Ratton, M.C. Lai. In cylinder air/fuel ratio approximation using spark gap ionization sensing / SAE paper № 980166, 1998.
- 4. A. Saitzkof, R. Reinmann, F. Mauss. In cylinder pressure measurements using the spark plug as an ionization sensor / SAE paper No. 970857, 1997.
- 5. Felice E. Corcione, Bianca M. Vaglieco, Simona S. Merola. Evaluation of Knocking Combustion by an Ion Current System and Optical Diagnostics of Radical Species / Istituto Motori CNR Via G. Marconi, 8 80125 Napoli (Italy), 2008.
- 6. Смоленский В.В. Особенности процесса сгорания в бензиновых двигателях при добавке водорода в топливновоздушную смесь // автореф. канд. дисс. Тольятти, 2007.
- 7. Черняев Э.Х. Оптимизация цикла бензинового двигателя по току ионизации в зоне электродов свечи зажигания. Автореферат диссертации на соискание учёной степени кандидата технических наук, МАМИ, 1984.
- M. Kramer, K. Wolf, Approaches to gasoline engine control involving the use of ion current sensory analysis. SAE tech. paper 905007.
- 9. Мандельштам А.А., Черняк Б.Я. Исследование распространения пламени и фаз процесса сгорания в двигателе АЗЛК-412 / Труды МАДИ, выпуск 96, Москва, 1975.
- 10. Ивашин П.В. Зависимость концентрации несгоревших углеводородов в отработавших газах бензиновых ДВС от скорости распространения пламени и ионного тока / автореферат диссертации кандидата технических наук. ТГУ, Тольятти, 2004.
- 11. Коломиец П.В. Влияние скорости распространения пламени на выделение оксида азота при добавке водорода в бензиновые двигатели // автореф. канд. дисс. - Тольятти, 2007.

APPLICATION OF DISTANT FROM SPARK PLUG IONIZATION SENSOR FOR COMBUSTION CONTROL IN ICE

© 2010

P.V. Ivashin, candidate of technical sciences, associated professor of the chair «Heat engines» **P.V. Kolomiets**, candidate of technical sciences, associated professor of the chair «Heat engines» *Togliatti State University, Togliatti (Russia)*

Keywords: engine; chamber combustion; ionization sensor; current control combustion.

Annotation: possibility of getting of adequate information about combustion in ICE using ionization sensor was analyzed. Ionization sensor was installed in the most distant from spark plug zone of combustion chamber.